

# Précision $p$ -adique, exemple et applications

séminaire des doctorants en théorie des nombres de Bordeaux

Tristan Vaccon

Université de Rennes I

15 novembre 2013



# Besoin de calculs $p$ -adiques

Pourquoi travailler en  $p$ -adique ?

- Passer de  $\mathbb{F}_p$  à  $\mathbb{Z}_p$  pour revenir à  $\mathbb{F}_p$  permet plus de calculs ;

# Besoin de calculs $p$ -adiques

## Pourquoi travailler en $p$ -adique ?

- Passer de  $\mathbb{F}_p$  à  $\mathbb{Z}_p$  pour revenir à  $\mathbb{F}_p$  permet plus de calculs ;
- Travailler dans  $\mathbb{Q}_p$  plutôt que dans  $\mathbb{Q}$  peut permettre de gérer efficacement les problèmes d'explosion de taille des coefficients ;

# Besoin de calculs $p$ -adiques

## Pourquoi travailler en $p$ -adique ?

- Passer de  $\mathbb{F}_p$  à  $\mathbb{Z}_p$  pour revenir à  $\mathbb{F}_p$  permet plus de calculs ;
- Travailler dans  $\mathbb{Q}_p$  plutôt que dans  $\mathbb{Q}$  peut permettre de gérer efficacement les problèmes d'explosion de taille des coefficients ;
- Certains algorithmes sont  $p$ -adiques par nature.

# Un exemple d'algorithme $p$ -adique

## Factorisation par Hensel

On cherche à factoriser  $Q \in \mathbb{Z}[X]$  :

# Un exemple d'algorithme $p$ -adique

## Factorisation par Hensel

On cherche à factoriser  $Q \in \mathbb{Z}[X]$  :

- 1 Choisir un  $p$  "adapté" au problème ;

# Un exemple d'algorithme $p$ -adique

## Factorisation par Hensel

On cherche à factoriser  $Q \in \mathbb{Z}[X]$  :

- 1 Choisir un  $p$  "adapté" au problème ;
- 2 Factoriser  $\overline{Q} \in \mathbb{Z}/p\mathbb{Z}[X]$  ;

# Un exemple d'algorithme $p$ -adique

## Factorisation par Hensel

On cherche à factoriser  $Q \in \mathbb{Z}[X]$  :

- 1 Choisir un  $p$  "adapté" au problème ;
- 2 Factoriser  $\overline{Q} \in \mathbb{Z}/p\mathbb{Z}[X]$  ;
- 3 Remonter les facteurs à  $\mathbb{Z}/p^k\mathbb{Z}[X]$  (par *remontée de Hensel*) ;



# Un exemple d'algorithme $p$ -adique

## Factorisation par Hensel

On cherche à factoriser  $Q \in \mathbb{Z}[X]$  :

- 1 Choisir un  $p$  "adapté" au problème ;
- 2 Factoriser  $\overline{Q} \in \mathbb{Z}/p\mathbb{Z}[X]$  ;
- 3 Remonter les facteurs à  $\mathbb{Z}/p^k\mathbb{Z}[X]$  (par *remontée de Hensel*) ;
- 4 Si  $p^k$  est assez grand (*borne de Mignotte*), on obtient une décomposition de  $Q$  (modulo un travail de recombinaison des facteurs).

# Un autre exemple d'algorithme $p$ -adique

## Idées de l'algorithme de Kedlaya

Soit  $C$  une courbe hyperelliptique de genre  $g$  sur  $\mathbb{F}_p$ , donnée par  $y^2 = P(x)$  (avec  $P$  de degré  $2g + 1$ , sans facteur carré). On veut connaître  $|Jac(C, \mathbb{F}_p)|$ .



# Un autre exemple d'algorithme $p$ -adique

## Idées de l'algorithme de Kedlaya

Soit  $C$  une courbe hyperelliptique de genre  $g$  sur  $\mathbb{F}_p$ , donnée par  $y^2 = P(x)$  (avec  $P$  de degré  $2g + 1$ , sans facteur carré). On veut connaître  $|Jac(C, \mathbb{F}_p)|$ .

- On note  $F$  le Frobenius de  $\mathbb{F}_p$ . Alors  $F$  agit comme un endomorphisme de  $H_{MW}^1(C, A)$ , cohomologie de Monsky-Washnitzer à coefficient dans  $A$ .



# Un autre exemple d'algorithme $p$ -adique

## Idées de l'algorithme de Kedlaya

Soit  $C$  une courbe hyperelliptique de genre  $g$  sur  $\mathbb{F}_p$ , donnée par  $y^2 = P(x)$  (avec  $P$  de degré  $2g + 1$ , sans facteur carré). On veut connaître  $|Jac(C, \mathbb{F}_p)|$ .

- On note  $F$  le Frobenius de  $\mathbb{F}_p$ . Alors  $F$  agit comme un endomorphisme de  $H_{MW}^1(C, A)$ , cohomologie de Monsky-Washnitzer à coefficient dans  $A$ .
- On prend  $A = \mathbb{Z}_p^\dagger[[x, y]]/(P)$ . Alors  $|Jac(C, \mathbb{F}_p)| = \chi_F(1)$ .



# Un autre exemple d'algorithme $p$ -adique

## Idées de l'algorithme de Kedlaya

Soit  $C$  une courbe hyperelliptique de genre  $g$  sur  $\mathbb{F}_p$ , donnée par  $y^2 = P(x)$  (avec  $P$  de degré  $2g + 1$ , sans facteur carré). On veut connaître  $|Jac(C, \mathbb{F}_p)|$ .

- On note  $F$  le Frobenius de  $\mathbb{F}_p$ . Alors  $F$  agit comme un endomorphisme de  $H_{MW}^1(C, A)$ , cohomologie de Monsky-Washnitzer à coefficient dans  $A$ .
- On prend  $A = \mathbb{Z}_p^\dagger[[x, y]]/(P)$ . Alors  $|Jac(C, \mathbb{F}_p)| = \chi_F(1)$ .
- On veut calculer l'action de  $F$  sur  $A$  :



# Un autre exemple d'algorithme $p$ -adique

## Idées de l'algorithme de Kedlaya

Soit  $C$  une courbe hyperelliptique de genre  $g$  sur  $\mathbb{F}_p$ , donnée par  $y^2 = P(x)$  (avec  $P$  de degré  $2g + 1$ , sans facteur carré). On veut connaître  $|Jac(C, \mathbb{F}_p)|$ .

- On note  $F$  le Frobenius de  $\mathbb{F}_p$ . Alors  $F$  agit comme un endomorphisme de  $H_{MW}^1(C, A)$ , cohomologie de Monsky-Washnitzer à coefficient dans  $A$ .
- On prend  $A = \mathbb{Z}_p^\dagger[[x, y]]/(P)$ . Alors  $|Jac(C, \mathbb{F}_p)| = \chi_F(1)$ .
- On veut calculer l'action de  $F$  sur  $A$  :

$$\begin{aligned} F(x) &= x^p \pmod{p} & F(y) &= y^p \pmod{p} \\ P(F(x)) &= F(y)^2 \end{aligned}$$

- Par les conjectures de Weil,  $\chi_F \in \mathbb{Z}[T]$ , et  $|a_i| \leq 2^{2g} \sqrt{q}^i$ .

- 1 Précision  $p$ -adique et algorithme de Gauss
  - Puissance de la précision  $p$ -adique
  - Un exemple : analyse de la perte de précision dans l'échelonnement de Gauss
  
- 2 Polygone de Newton
  - Première présentation
  - Factorisation par les pentes
  
- 3 Calcul différentiel
  - Le lemme de Caruso
  - Equations différentielles linéaires, et applications

# Plan de l'exposé

- 1** Précision  $p$ -adique et algorithme de Gauss
  - Puissance de la précision  $p$ -adique
  - Un exemple : analyse de la perte de précision dans l'échelonnement de Gauss
- 2** Polygone de Newton
  - Première présentation
  - Factorisation par les pentes
- 3** Calcul différentiel
  - Le lemme de Caruso
  - Equations différentielles linéaires, et applications



# Définition de la précision

## $p$ -adiques à précision fixée

Les éléments de  $\mathbb{Q}_p$  sont de la forme  $\sum_{i=-l}^{+\infty} a_i p^i$ , avec  $a_i \in \llbracket 0, p-1 \rrbracket$ ,  $l \in \mathbb{Z}$  et  $p$  un nombre premier.

Nécessairement, en machine, on se restreint au début de ce développement en série, et on ne considère que des éléments de la forme suivante :  $\sum_{i=l}^{d-1} a_i p^i + O(p^d)$ , avec  $l \in \mathbb{Z}$ .

# Définition de la précision

## $p$ -adiques à précision fixée

Les éléments de  $\mathbb{Q}_p$  sont de la forme  $\sum_{i=-l}^{+\infty} a_i p^i$ , avec  $a_i \in \llbracket 0, p-1 \rrbracket$ ,  $l \in \mathbb{Z}$  et  $p$  un nombre premier.

Nécessairement, en machine, on se restreint au début de ce développement en série, et on ne considère que des éléments de la forme suivante :  $\sum_{i=l}^{d-1} a_i p^i + O(p^d)$ , avec  $l \in \mathbb{Z}$ .

## Définition

L'**ordre**, ou la **précision absolue** de  $\sum_{i=k}^{d-1} a_i p^i + O(p^d)$  est  $d$ . Sa **précision relative** correspond au nombre de ses chiffres significatifs, et est donnée par  $d - \min \{i \in \mathbb{Z}, a_i \neq 0\}$ .

# Définition de la précision

## $p$ -adiques à précision fixée

Les éléments de  $\mathbb{Q}_p$  sont de la forme  $\sum_{i=-l}^{+\infty} a_i p^i$ , avec  $a_i \in \llbracket 0, p-1 \rrbracket$ ,  $l \in \mathbb{Z}$  et  $p$  un nombre premier.

Nécessairement, en machine, on se restreint au début de ce développement en série, et on ne considère que des éléments de la forme suivante :  $\sum_{i=l}^{d-1} a_i p^i + O(p^d)$ , avec  $l \in \mathbb{Z}$ .

## Définition

L'**ordre**, ou la **précision absolue** de  $\sum_{i=k}^{d-1} a_i p^i + O(p^d)$  est  $d$ . Sa **précision relative** correspond au nombre de ses chiffres significatifs, et est donnée par  $d - \min \{i \in \mathbb{Z}, a_i \neq 0\}$ .

## Exemples

L'ordre de  $3 * 7^{-1} + 4 * 7^0 + 5 * 7^1 + 6 * 7^2 + O(7^3)$  est 3, et sa précision relative  $4 = 3 - (-1)$ .

# Précision $p$ -adique contre précision réelle

L'essence de l'étude de la précision  $p$ -adique provient de la remarque suivante :

**Proposition (Les erreurs de précision ne se cumulent pas)**

On a :

$$(a + O(p^k)) + (b + O(p^k)) = a + b + O(p^k).$$

*Autrement dit, si  $a$  et  $b$  sont connus avec une précision  $O(p^k)$ , alors  $a + b$  aussi.*

# Précision $p$ -adique contre précision réelle

L'essence de l'étude de la précision  $p$ -adique provient de la remarque suivante :

**Proposition (Les erreurs de précision ne se cumulent pas)**

On a :

$$(a + O(p^k)) + (b + O(p^k)) = a + b + O(p^k).$$

*Autrement dit, si  $a$  et  $b$  sont connus avec une précision  $O(p^k)$ , alors  $a + b$  aussi.*

# Précision $p$ -adique contre précision réelle

L'essence de l'étude de la précision  $p$ -adique provient de la remarque suivante :

**Proposition (Les erreurs de précision ne se cumulent pas)**

On a :

$$(a + O(p^k)) + (b + O(p^k)) = a + b + O(p^k).$$

*Autrement dit, si  $a$  et  $b$  sont connus avec une précision  $O(p^k)$ , alors  $a + b$  aussi.*

**Remarque**

Ceci est le contraire du cas réel, et de ses **erreurs d'arrondis** :

$$(1 + 5 * 10^{-2}) + (2 + 6 * 10^{-2}) = 3 + 1 * 10^{-1} + 1 * 10^{-2}.$$

Autrement dit, si  $a$  et  $b$  sont connus avec une précision  $10^{-n}$ , alors  $a + b$  est connu à  $10^{-(n+1)}$ .

# Précision $p$ -adique contre précision réelle

L'essence de l'étude de la précision  $p$ -adique provient de la remarque suivante :

**Proposition (Les erreurs de précision ne se cumulent pas)**

On a :

$$(a + O(p^k)) + (b + O(p^k)) = a + b + O(p^k).$$

Autrement dit, si  $a$  et  $b$  sont connus avec une précision  $O(p^k)$ , alors  $a + b$  aussi.

**Remarque**

Ceci est le contraire du cas réel, et de ses **erreurs d'arrondis** :

$$(1 + 5 * 10^{-2}) + (2 + 6 * 10^{-2}) = 3 + 1 * 10^{-1} + 1 * 10^{-2}.$$

Autrement dit, si  $a$  et  $b$  sont connus avec une précision  $10^{-n}$ , alors  $a + b$  est connu à  $10^{(-n+1)}$ .



# Formules de précision

## Proposition (addition)

$$(x_0 + O(p^{k_0})) + (x_1 + O(p^{k_1})) = x_0 + x_1 + O(p^{\min(k_0, k_1)})$$



# Formules de précision

## Proposition (addition)

$$(x_0 + O(p^{k_0})) + (x_1 + O(p^{k_1})) = x_0 + x_1 + O(p^{\min(k_0, k_1)})$$

## Proposition (multiplication)

$$(x_0 + O(p^{k_0})) * (x_1 + O(p^{k_1})) = x_0 * x_1 + O(p^{\min(k_0 - v_p(x_1), k_1 - v_p(x_0))})$$

# Formules de précision

## Proposition (addition)

$$(x_0 + O(p^{k_0})) + (x_1 + O(p^{k_1})) = x_0 + x_1 + O(p^{\min(k_0, k_1)})$$

## Proposition (multiplication)

$$(x_0 + O(p^{k_0})) * (x_1 + O(p^{k_1})) = x_0 * x_1 + O(p^{\min(k_0 - v_p(x_1), k_1 - v_p(x_0))})$$

## Proposition (division)

$$\frac{xp^a + O(p^b)}{yp^c + O(p^d)} = x * y^{-1} p^{a-c} + O(p^{\min(d+a-2c, b-c)})$$

*En particulier,*

$$\frac{1}{yp^c + O(p^d)} = y^{-1} p^{-c} + O(p^{d-2c})$$

# Plan de l'exposé

- 1** Précision  $p$ -adique et algorithme de Gauss
  - Puissance de la précision  $p$ -adique
  - Un exemple : analyse de la perte de précision dans l'échelonnement de Gauss
  
- 2** Polygone de Newton
  - Première présentation
  - Factorisation par les pentes
  
- 3** Calcul différentiel
  - Le lemme de Caruso
  - Equations différentielles linéaires, et applications

# Méthode de Gauss

## Échelonnement à la Gauss

Soit

$$M = \begin{bmatrix} m_{1,1} + O(p^k) & m_{1,2} + O(p^k) & \cdots & m_{1,m} + O(p^k) \\ m_{2,1} + O(p^k) & m_{2,2} + O(p^k) & \cdots & m_{2,m} + O(p^k) \end{bmatrix}$$

On suppose

$$\det \left( \begin{bmatrix} m_{1,1} + O(p^k) & m_{1,2} + O(p^k) \\ m_{2,1} + O(p^k) & m_{2,2} + O(p^k) \end{bmatrix} \right) \neq O(p^k).$$

# Méthode de Gauss

## Échelonnement à la Gauss

$$M \simeq \begin{bmatrix} p^{a_1} + O(p^k) & \cdots & \cdots & m_{1,m}^{(1)} + O(p^k) \\ O(p^k) & m_{2,2}^{(1)} + O(p^k) & \cdots & m_{2,m}^{(1)} + O(p^k) \end{bmatrix} \quad \begin{array}{l} L_1 \leftarrow c_1^{-1} L_1 \\ L_2 \leftarrow L_2 - \frac{m_{2,1}}{m_{1,1}} L_1 \end{array}$$

On prend comme pivot le coefficient sur la première colonne de **plus petite valuation**, mis sur la première ligne par un échange de lignes :  $M_{1,1} = c_1 * p^{a_1} + O(p^k)$ .

De plus, comme  $a_1 \leq \text{val}(m_{j,1})$ ,  $\frac{m_{2,1}}{m_{1,1}}$  est dans  $\mathbb{Z}_p$ , connu à l'ordre  $k$  au moins.

# Méthode de Gauss

## Échelonnement à la Gauss

$$M \simeq \begin{bmatrix} p^{a_1} + O(p^k) & \cdots & \cdots & m_{1,m}^{(1)} + O(p^k) \\ \boxed{O(p^k)} & m_{2,2}^{(1)} + O(p^k) & \cdots & m_{2,m}^{(1)} + O(p^k) \end{bmatrix} \quad \begin{array}{l} L_1 \leftarrow c_1^{-1} L_1 \\ L_2 \leftarrow L_2 - \frac{m_{2,1}}{m_{1,1}} L_1 \end{array}$$

On prend comme pivot le coefficient sur la première colonne de **plus petite valuation**, mis sur la première ligne par un échange de lignes :  $M_{1,1} = c_1 * p^{a_1} + O(p^k)$ .

De plus, comme  $a_1 \leq \text{val}(m_{j,1})$ ,  $\frac{m_{2,1}}{m_{1,1}}$  est dans  $\mathbb{Z}_p$ , connu à l'ordre  $k$  au moins.

# Méthode de Gauss

## Échelonnement à la Gauss

On est alors ramenés au cas d'une matrice échelonnée à  $O(p^k)$  près :

$$M = \begin{bmatrix} p^{a_1} + O(p^k) & m_{1,2} + O(p^k) & \cdots & m_{1,m} + O(p^k) \\ \boxed{O(p^k)} & p^{a_2} + O(p^k) & \cdots & m_{2,m} + O(p^k) \end{bmatrix}$$

# Méthode de Gauss

## Échelonnement à la Gauss

On est alors ramenés au cas d'une matrice échelonnée à  $O(p^k)$  près :

$$M = \begin{bmatrix} p^{a_1} + O(p^k) & m_{1,2} + O(p^k) & \cdots & m_{1,m} + O(p^k) \\ \boxed{O(p^k)} & \boxed{p^{a_2} + O(p^k)} & \cdots & m_{2,m} + O(p^k) \end{bmatrix}$$

On note que le coefficient  $M_{2,2}$  est non nul modulo  $p^k$  par hypothèse.



# Méthode de Gauss

## Échelonnement à la Gauss

$$M \simeq \begin{bmatrix} p^{a_1} + O(p^k) & m_{1,2} + O(p^k) \cdots \cdots m_{1,m} + O(p^k) \\ \boxed{0} & p^{a_2} + O(p^{k-a_1}) \cdots \cdots m_{2,m} + O(p^{k-a_1}) \end{bmatrix} \quad \boxed{L_2 \leftarrow L_2 - \frac{M_{2,1}^{(n-1)}}{M_{1,1}^{(n-1)}} L_1}$$

En effet,  $\boxed{M_{2,1}^{(n-1)} - \frac{M_{2,1}^{(n-1)}}{M_{1,1}^{(n-1)}} * M_{1,1}^{(n-1)} = 0}$  (formellement).

Par ailleurs,  $\frac{M_{2,1}^{(n-1)}}{M_{1,1}^{(n-1)}} = \frac{O(p^k)}{p^{a_1} + O(p^k)} = O(p^{k-a_1})$ , donc  $L_2 - \frac{M_{2,1}^{(n-1)}}{M_{1,1}^{(n-1)}} L_1 = L_2 + O(p^{k-a_1}) L_1$ .

# Méthode de Gauss

## Échelonnement à la Gauss

$$M \simeq \begin{bmatrix} \rho^{a_1} + O(\rho^k) & m_{1,2} + O(\rho^k) & \cdots & m_{1,m} + O(\rho^k) \\ \boxed{0} & \rho^{a_2} + O(\rho^{k-a_1}) & \cdots & \boxed{m_{2,m} + O(\rho^{k-a_1})} \end{bmatrix} \quad \boxed{L_2 \leftarrow L_2 + O(\rho^{k-a_1})L_1}$$

En effet,  $M_{2,1}^{(n-1)} - \frac{M_{2,1}^{(n-1)}}{M_{1,1}^{(n-1)}} * M_{1,1}^{(n-1)} = 0$  (formellement).

Par ailleurs,  $\frac{M_{2,1}^{(n-1)}}{M_{1,1}^{(n-1)}} = \frac{O(\rho^k)}{\rho^{a_1} + O(\rho^k)} = O(\rho^{k-a_1})$ , donc  $L_2 - \frac{M_{2,1}^{(n-1)}}{M_{1,1}^{(n-1)}} L_1 = L_2 + O(\rho^{k-a_1})L_1$ .

# Méthode de Gauss

## Échelonnement à la Gauss

À la fin, on obtient :

$$M = \begin{bmatrix} p^{a_1} + O(p^k) & m_{1,2} + O(p^k) & \cdots & m_{1,m} + O(p^k) \\ \boxed{0} & p^{a_2} + O(p^{k-a_1}) & \cdots & \boxed{m_{2,m} + O(p^{k-a_1})} \end{bmatrix}$$

La perte de précision sur la deuxième ligne est  $\boxed{a_1}$  .

# Méthode de Gauss

## Échelonnement à la Gauss

À la fin, on obtient :

$$M = \begin{bmatrix} p^{a_1} + O(p^k) & m_{1,2} + O(p^k) & \cdots & m_{1,m} + O(p^k) \\ \boxed{0} & p^{a_2} + O(p^{k-a_1}) & \cdots & \boxed{m_{2,m} + O(p^{k-a_1})} \end{bmatrix}$$

La perte de précision sur la deuxième ligne est  $a_1$ .

Or,  $\text{val}(\det \left( \begin{bmatrix} m_{1,1} + O(p^k) & m_{1,2} + O(p^k) \\ m_{2,1} + O(p^k) & m_{2,2} + O(p^k) \end{bmatrix} \right)) = a_1 + a_2$ , et les  $a_i$  sont positifs.

La perte de précision est donc majorée par  $\text{val}(\det((M_{i,j})_{1 \leq i \leq 2, 1 \leq j \leq 2}))$

# Méthode de Gauss : un résultat

## Théorème

# Méthode de Gauss : un résultat

## Théorème

*Soit  $M$  une matrice  $n \times m$  dont les coefficients sont des entiers  $p$ -adiques connus avec la précision uniforme  $O(p^k)$ , et telles que son mineur principal  $\Delta = \det((M_{i,j})_{1 \leq i \leq n, 1 \leq j \leq n})$  vérifie  $\text{val}(\Delta) < k$ .*

# Méthode de Gauss : un résultat

## Théorème

*Soit  $M$  une matrice  $n \times m$  dont les coefficients sont des entiers  $p$ -adiques connus avec la précision uniforme  $O(p^k)$ , et telles que son mineur principal  $\Delta = \det((M_{i,j})_{1 \leq i \leq n, 1 \leq j \leq n})$  vérifie  $\text{val}(\Delta) < k$ . Alors, la perte maximale de précision lorsque l'on effectue l'échelonnement de  $M$  par l'algorithme de Gauss peut être majorée par  $\text{val}(\Delta)$  (autrement dit, on peut calculer les coefficients de la forme échelonnée à précision  $O(p^{k-\text{val}(\Delta)})$ ).*

# Le problème de la détermination de l'indice d'une ligne

## Souci des tests à zéro

Un souci majeur apparaît lorsqu'on ne considère que des données connues à précision fixée : celui de ne pas savoir si une colonne est sans pivot ou si la précision est insuffisante.

## Indétermination de l'indice d'une ligne

$$\begin{bmatrix} 1 + O(p^k) & 1 + O(p^k) & 1 + O(p^k) & 0 \\ 1 + O(p^k) & 1 + O(p^k) & 0 & 1 + O(p^k) \end{bmatrix} \quad L_2 \leftarrow L_2 - \frac{M_{2,1}}{M_{1,1}} L_1$$



# Le problème de la détermination de l'indice d'une ligne

## Souci des tests à zéro

Un souci majeur apparaît lorsqu'on ne considère que des données connues à précision fixée : celui de ne pas savoir si une colonne est sans pivot ou si la précision est insuffisante.

## Indétermination de l'indice d'une ligne

$$\begin{bmatrix} 1 + O(p^k) & 1 + O(p^k) & 1 + O(p^k) & 0 \\ 0 & O(p^k) & -1 + O(p^k) & 1 + O(p^k) \end{bmatrix} \quad L_2 \leftarrow L_2 - (1 + O(p^k))L_1$$

# Le problème de la détermination de l'indice d'une ligne

## Souci des tests à zéro

Un souci majeur apparaît lorsqu'on ne considère que des données connues à précision fixée : celui de ne pas savoir si une colonne est sans pivot ou si la précision est insuffisante.

## Indétermination de l'indice d'une ligne

$$\begin{bmatrix} 1 + O(p^k) & 1 + O(p^k) & 1 + O(p^k) & 0 \\ 0 & O(p^k) & -1 + O(p^k) & 1 + O(p^k) \end{bmatrix} \quad L_2 \leftarrow L_2 - (1 + O(p^k))L_1$$

Quel est l'indice de la première ligne ?

# Plan de l'exposé

- 1** Précision  $p$ -adique et algorithme de Gauss
  - Puissance de la précision  $p$ -adique
  - Un exemple : analyse de la perte de précision dans l'échelonnement de Gauss
- 2** Polygone de Newton
  - Première présentation
  - Factorisation par les pentes
- 3** Calcul différentiel
  - Le lemme de Caruso
  - Equations différentielles linéaires, et applications

# Polygone de Newton d'un polynôme

## Définition

Soit  $f(X) = a_0 + \cdots + a_n X^n \in K[x]$  un polynôme, avec  $K$  un corps discrètement valué. Soit  $U = \{(0, v(a_0)), \dots, (n, v(a_n))\}$ .

# Polygone de Newton d'un polynôme

## Définition

Soit  $f(X) = a_0 + \cdots + a_n X^n \in K[x]$  un polynôme, avec  $K$  un corps discrètement valué. Soit  $U = \{(0, v(a_0)), \dots, (n, v(a_n))\}$ .

On définit *le polygone de Newton* de  $f$  comme l'ensemble des points d'abscisse dans  $[0, n]$  qui sont au-dessus de l'enveloppe convexe "inférieure" de  $U$ , ainsi que cette enveloppe convexe.

# Polygone de Newton d'un polynôme

## Définition

Soit  $f(X) = a_0 + \cdots + a_n X^n \in K[x]$  un polynôme, avec  $K$  un corps discrètement valué. Soit  $U = \{(0, v(a_0)), \dots, (n, v(a_n))\}$ .

On définit *le polygone de Newton* de  $f$  comme l'ensemble des points d'abscisse dans  $[0, n]$  qui sont au-dessus de l'enveloppe convexe "inférieure" de  $U$ , ainsi que cette enveloppe convexe.

On entend par enveloppe convexe "inférieure" l'enveloppe convexe des points de  $U$ , à l'exception de ceux qui sont au-dessus du segment joignant  $(0, v(a_0))$  à  $(n, v(a_n))$ .

# Polygone de Newton d'un polynôme

## Définition

Soit  $f(X) = a_0 + \cdots + a_n X^n \in K[x]$  un polynôme, avec  $K$  un corps discrètement valué. Soit  $U = \{(0, v(a_0)), \dots, (n, v(a_n))\}$ .

On définit *le polygone de Newton* de  $f$  comme l'ensemble des points d'abscisse dans  $[0, n]$  qui sont au-dessus de l'enveloppe convexe "inférieure" de  $U$ , ainsi que cette enveloppe convexe.

On entend par enveloppe convexe "inférieure" l'enveloppe convexe des points de  $U$ , à l'exception de ceux qui sont au-dessus du segment joignant  $(0, v(a_0))$  à  $(n, v(a_n))$ .

Cela correspond aussi au graphe de la plus grande fonction convexe sur  $[0, n]$ , notée  $Newt_f$ , qui soit "sous" les points de  $U$ , c'est-à-dire telle que  $Newt_f$  est convexe et vérifie pour tout  $i$ ,  $f(i) \leq v(a_i)$ , et elle est la plus grande (au sens d'être plus grand en chaque point) à le vérifier.

# Polygone de Newton d'un polynôme

## Définition

Soit  $f(X) = a_0 + \cdots + a_n X^n \in K[x]$  un polynôme, avec  $K$  un corps discrètement valué. Soit  $U = \{(0, v(a_0)), \dots, (n, v(a_n))\}$ .

On définit *le polygone de Newton* de  $f$  comme l'ensemble des points d'abscisse dans  $[0, n]$  qui sont au-dessus de l'enveloppe convexe "inférieure" de  $U$ , ainsi que cette enveloppe convexe.

On entend par enveloppe convexe "inférieure" l'enveloppe convexe des points de  $U$ , à l'exception de ceux qui sont au-dessus du segment joignant  $(0, (a_0))$  à  $(n, v(a_n))$ .

Cela correspond aussi au graphe de la plus grande fonction convexe sur  $[0, n]$ , notée  $Newt_f$ , qui soit "sous" les points de  $U$ , c'est-à-dire telle que  $Newt_f$  est convexe et vérifie pour tout  $i$ ,  $f(i) \leq v(a_i)$ , et elle est la plus grande (au sens d'être plus grand en chaque point) à le vérifier.

## Remarque

La même définition fonctionnerait avec  $f \in K[[x]]$ .





# Un exemple

## Un polygone de Newton

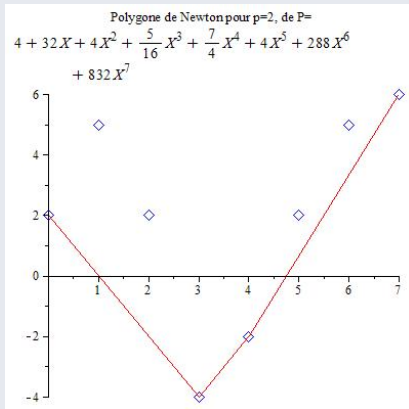


Figure: Un premier exemple

# Vocabulaire et théorème fondamental des polygones de Newton

## Définition

On appelle *pente du polygone de Newton* un élément de  $\text{Newt}'_f([0, n])$ . Si  $\lambda$  est une pente de  $\text{Newt}_f$ , on appelle *segment de pente*  $\lambda$  de  $\text{Newt}_f$  l'ensemble  $\{(x, \text{Newt}_f(x)) \mid \text{Newt}'_f(x) = \lambda\}$ . La *longueur* de ce segment sera, par définition, la longueur de son projeté sur l'axe des abscisses.

# Vocabulaire et théorème fondamental des polygones de Newton

## Définition

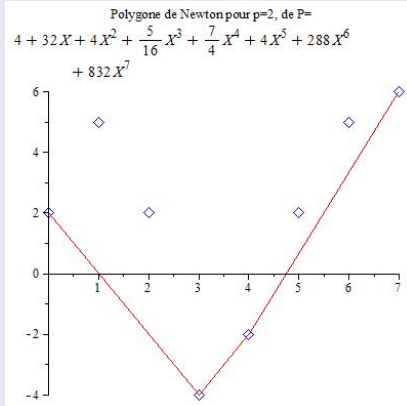
On appelle *pente du polygone de Newton* un élément de  $\text{Newt}'_f([0, n])$ . Si  $\lambda$  est une pente de  $\text{Newt}_f$ , on appelle *segment de pente  $\lambda$  de  $\text{Newt}_f$*  l'ensemble  $\{(x, \text{Newt}_f(x)) \mid \text{Newt}'_f(x) = \lambda\}$ . La *longueur* de ce segment sera, par définition, la longueur de son projeté sur l'axe des abscisses.

## Théorème

$f$  a une racine de valuation  $\lambda$  si et seulement si  $-\lambda$  est une pente de  $\text{Newt}_f$ . De plus, le nombre de racines de  $f$  de valuation  $\lambda$ , comptées avec multiplicité, est la longueur du segment de pente  $-\lambda$  de  $\text{Newt}_f$ .

## Retour à l'exemple

## Valuation des racines



$P$  a trois racines de valuation  $1/2$ , une de valuation  $-2$  et trois de valuation  $-8/3$ .

# Quelques remarques

## Remarque

Du fait que si  $P \in K[X]$  est irréductible, toutes ses racines ont même valuation, on obtient que si  $P$  est irréductible, alors  $\text{Newt}_P$  n'a qu'une pente. La réciproque est, bien sûr, fausse (prendre par exemple  $(X - 1)(X - 2)$  sur  $\mathbb{Q}$ , muni de  $v_5$ ).

# Quelques remarques

## Remarque

Du fait que si  $P \in K[X]$  est irréductible, toutes ses racines ont même valuation, on obtient que si  $P$  est irréductible, alors  $\text{Newt}_P$  n'a qu'une pente. La réciproque est, bien sûr, fautive (prendre par exemple  $(X - 1)(X - 2)$  sur  $\mathbb{Q}$ , muni de  $v_5$ ).

## Remarque

Ainsi, si le polygone de Newton de  $P$  n'est pas un segment,  $P$  n'est pas irréductible. C'est en particulier le cas dans l'exemple donné dans la Figure 1.

# multiplicativité

## Proposition (multiplicativité)

*Si  $f$  et  $g$  sont deux polynômes, alors le polygone de Newton de  $fg$  a pour pentes celles de  $f$  et  $g$ , avec longueur la somme de celle de  $f$  et de celle de  $g$ .*

# Plan de l'exposé

- 1** Précision  $p$ -adique et algorithme de Gauss
  - Puissance de la précision  $p$ -adique
  - Un exemple : analyse de la perte de précision dans l'échelonnement de Gauss
- 2** Polygone de Newton
  - Première présentation
  - Factorisation par les pentes
- 3** Calcul différentiel
  - Le lemme de Caruso
  - Equations différentielles linéaires, et applications



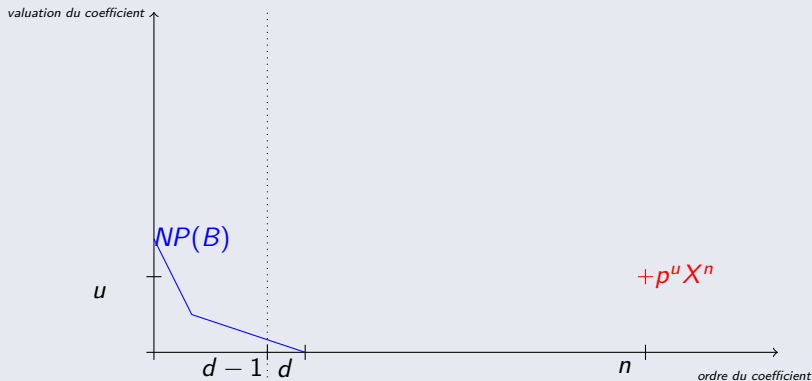
# Division euclidienne et polygone de Newton

## Lemme (Lemme de division)

*On veut connaître les polygones de Newton du reste et du quotient de la division de  $A$  par  $B$ , deux polynômes. Considérons d'abord la division de  $X^n$  par le polynôme  $B$ , puis celle de  $A$ .*

# Division euclidienne et polygone de Newton

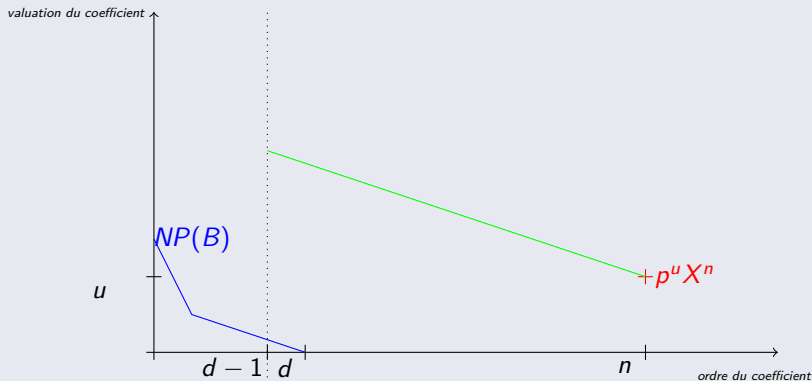
## Lemme (Lemme de division)



$$\text{Division de } p^u X^n \text{ par } B : p^u X^n = BQ + R$$

# Division euclidienne et polygone de Newton

## Lemme (Lemme de division)

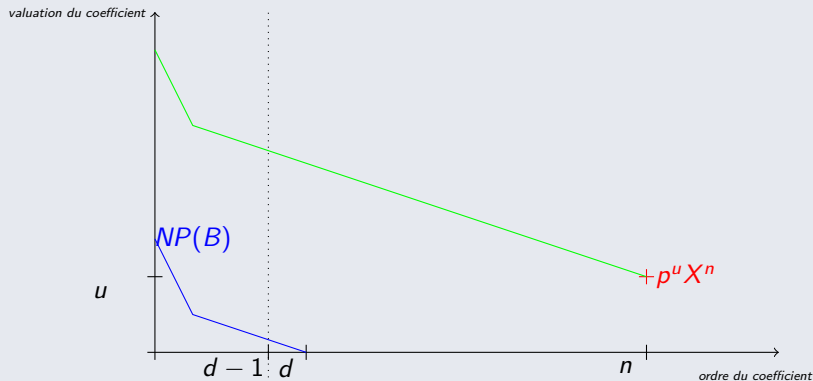


$$\text{Division de } p^u X^n \text{ par } B : p^u X^n = BQ + R$$



# Division euclidienne et polygone de Newton

## Lemme (Lemme de division)



$$\text{Division de } p^u X^n \text{ par } B : p^u X^n = BQ + R$$



# Division euclidienne et polygone de Newton

## Lemme (Lemme de division)

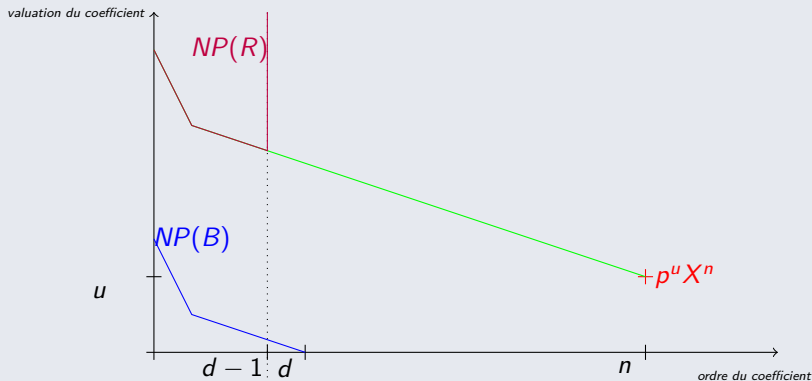


$$\text{Division de } p^u X^n \text{ par } B : p^u X^n = BQ + R$$



# Division euclidienne et polygone de Newton

## Lemme (Lemme de division)

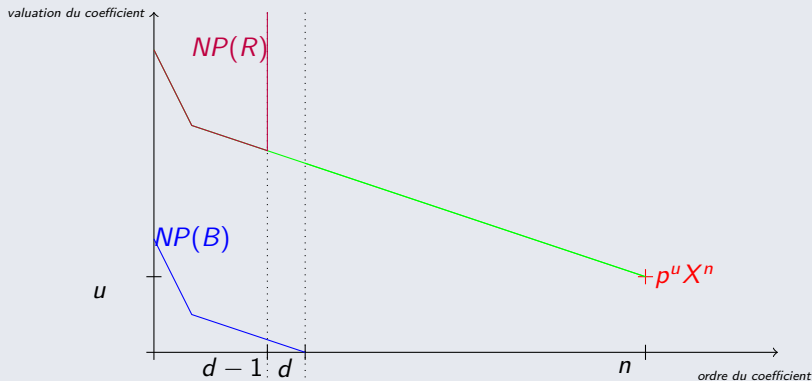


$$\text{Division de } p^u X^n \text{ par } B : p^u X^n = BQ + R$$



# Division euclidienne et polygone de Newton

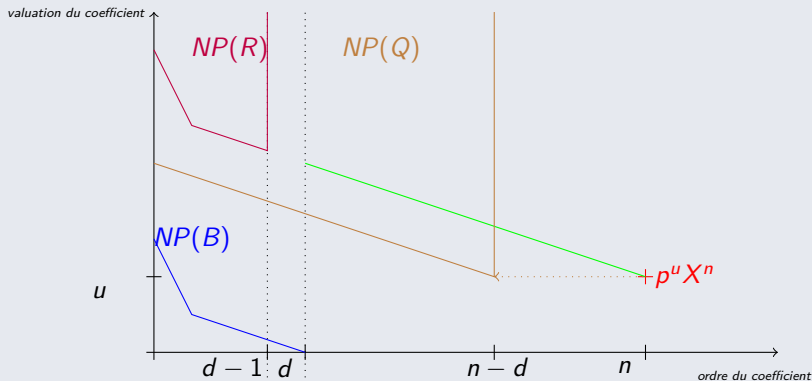
## Lemme (Lemme de division)



$$\text{Division de } p^u X^n \text{ par } B : p^u X^n = BQ + R$$

# Division euclidienne et polygone de Newton

## Lemme (Lemme de division)

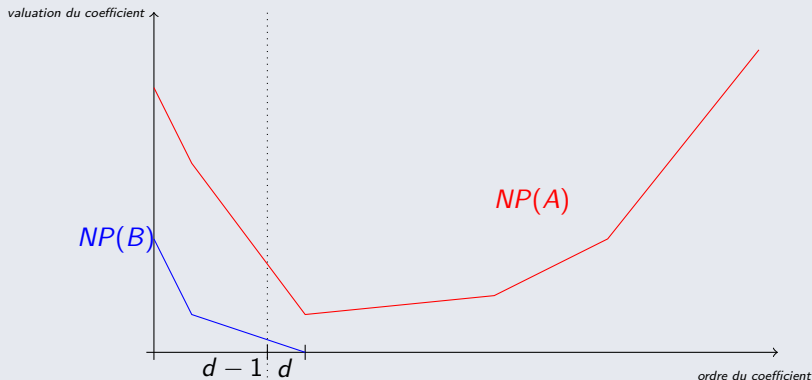


$$\text{Division de } p^u X^n \text{ par } B : p^u X^n = BQ + R$$



# Division euclidienne et polygone de Newton

## Lemme (Lemme de division)

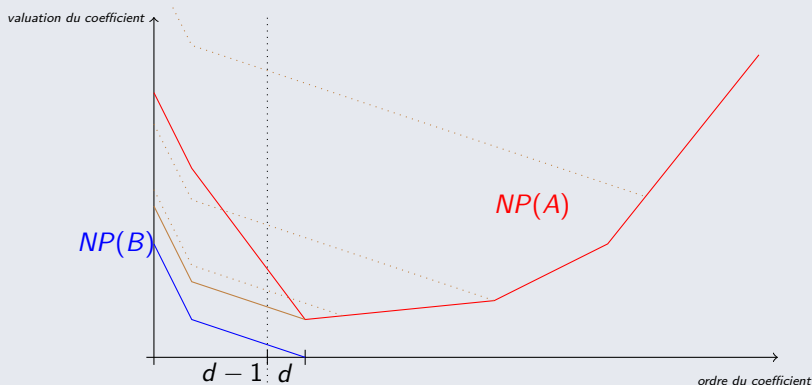


$$\text{Division de } A \text{ par } B : A = BQ + R$$



# Division euclidienne et polygone de Newton

## Lemme (Lemme de division)

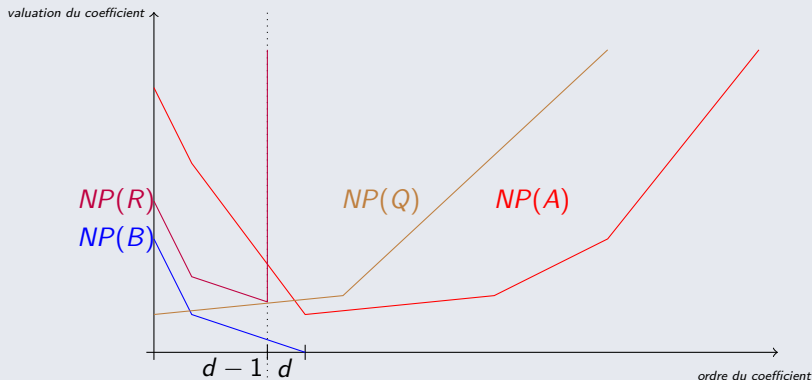


$$\text{Division de } A \text{ par } B : A = BQ + R$$



# Division euclidienne et polygone de Newton

## Lemme (Lemme de division)



$$\text{Division de } A \text{ par } B : A = BQ + R$$



## Théorème

Soit  $P = \sum_{i=0}^{+\infty} a_i X^i \in \mathbb{Q}_p[X]$  ou  $\mathbb{Q}_p[[X]]$ . Soit  $d$  l'abscisse d'un sommet de son polygone de Newton. Soit  $A_0 = Lo(P, d) = \sum_{i=0}^d a_i X^i$ ,

## Théorème

Soit  $P = \sum_{i=0}^{+\infty} a_i X^i \in \mathbb{Q}_p[X]$  ou  $\mathbb{Q}_p[[X]]$ . Soit  $d$  l'abscisse d'un sommet de son polygone de Newton. Soit  $A_0 = Lo(P, d) = \sum_{i=0}^d a_i X^i$ , et définissons par récurrence

$$A_{i+1} = A_i + (P \bmod A_i).$$

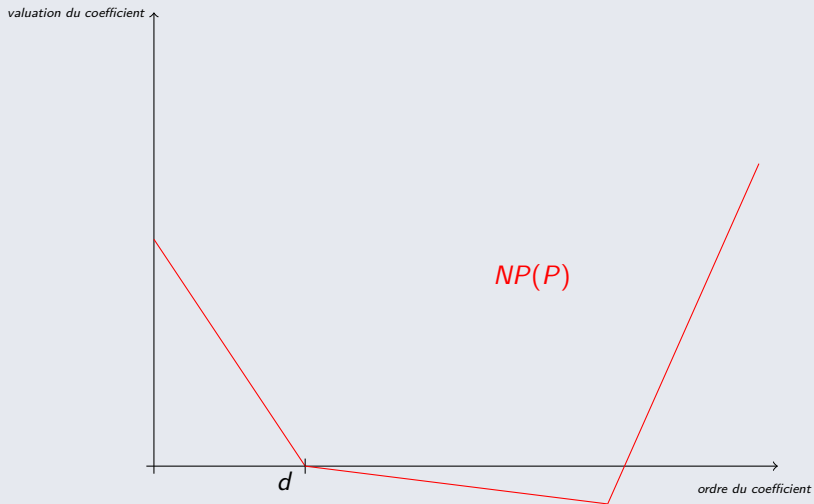
## Théorème

Soit  $P = \sum_{i=0}^{+\infty} a_i X^i \in \mathbb{Q}_p[X]$  ou  $\mathbb{Q}_p[[X]]$ . Soit  $d$  l'abscisse d'un sommet de son polygone de Newton. Soit  $A_0 = Lo(P, d) = \sum_{i=0}^d a_i X^i$ , et définissons par récurrence

$$A_{i+1} = A_i + (P \bmod A_i).$$

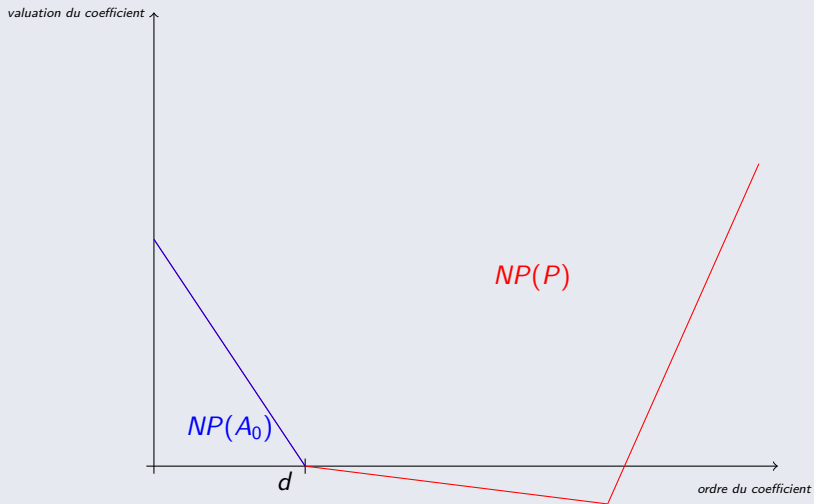
Alors la suite  $(A_i)$  converge vers un certain polynome  $A$  tel que  $NP(A) = NP(Lo(P, d))$  et  $A$  divise  $P$ .

## Théorème



*Polygone de Newton de  $P$*

## Théorème



*Polygone de Newton de  $P$*



## Proof.

- On peut supposer  $A_0$  unitaire.
- On écrit la division euclidienne par  $A_i$  :  $P = A_i B_{i+1} + (P \bmod A_i)$ .
- On pose  $R_i = P - A_i B_{i+1}$ .
- On alors :

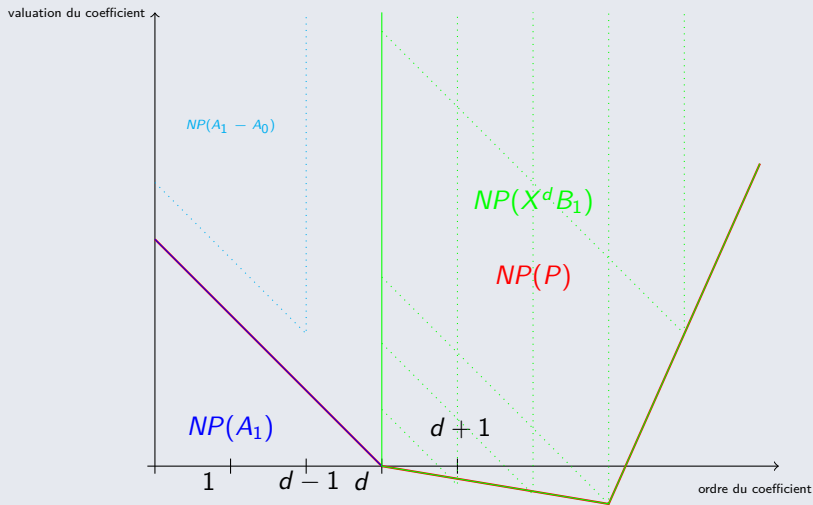
$$A_i - A_{i+1} = -(P \bmod A_i) = (R_i \bmod A_i).$$

- De plus :

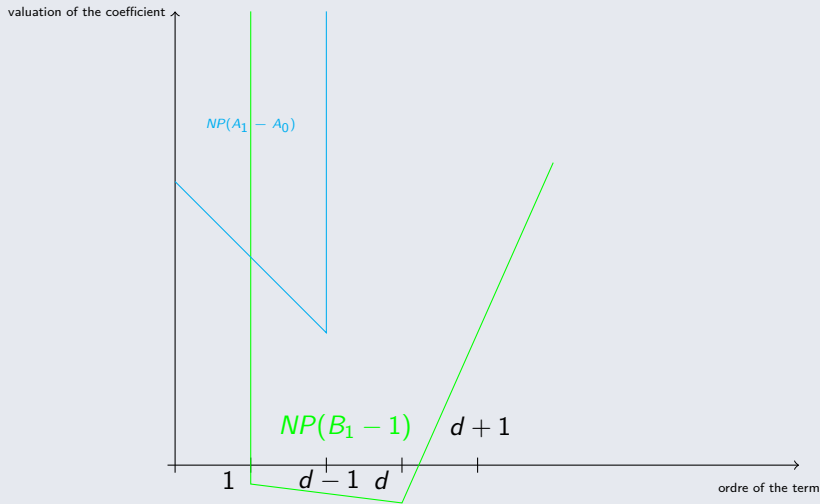
$$R_{i+1} = (B_{i+1} - 1)(A_i - A_{i+1}).$$



## Proof.

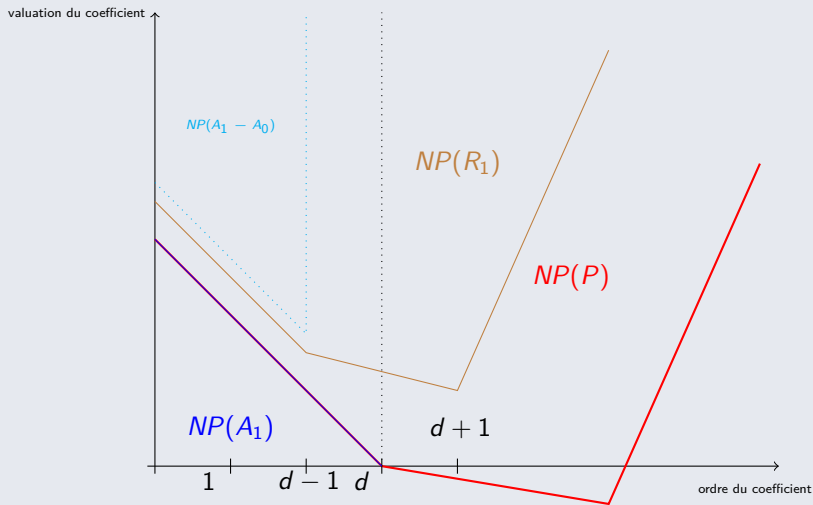
Division of  $P$  by  $A_0$

## Proof.

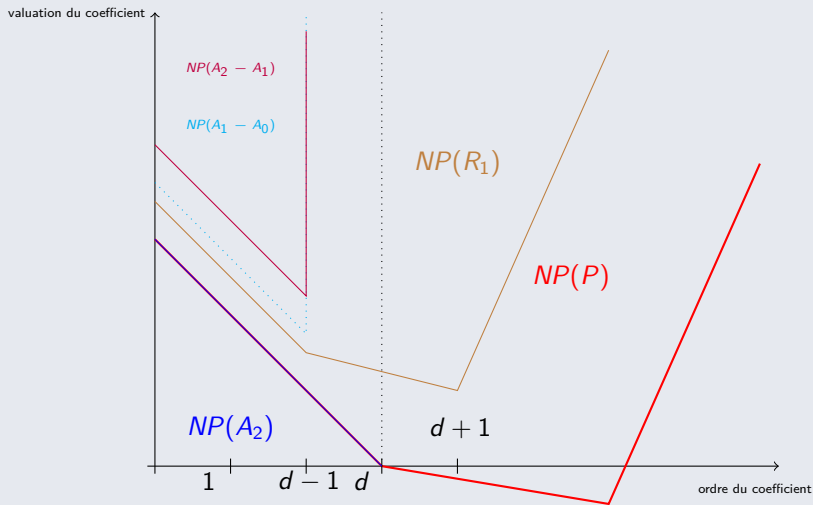


Polygones de Newton de  $B_1 - 1$  et  $A_1 - A_0$

## Proof.

Polygone de Newton de  $R_1$ 

## Proof.

Polygone de Newton de  $A_2 - A_1$

Proof.

Remarque

En  $p$ -adique, les notions de convergence sont plus simples :

$$A_{i+1} - A_0 = \sum_{k=1}^i A_{k+1} - A_k.$$



Proof.

Remarque

En  $p$ -adique, les notions de convergence sont plus simples :

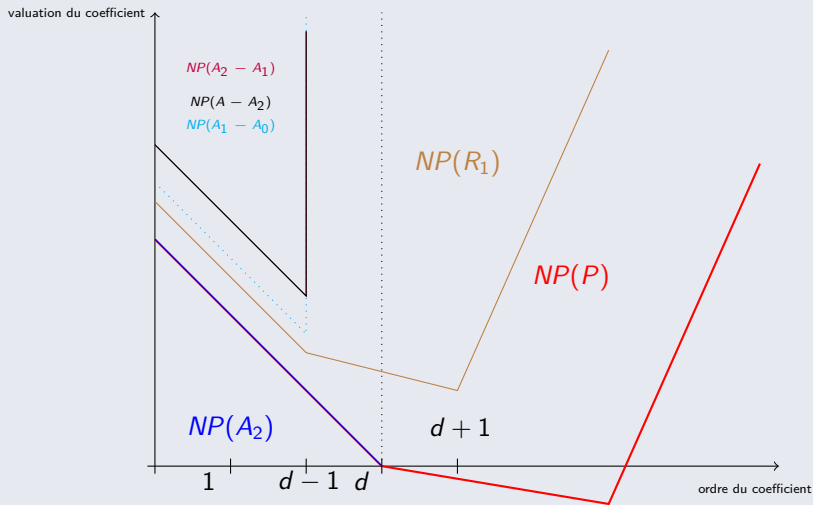
$$A_{i+1} - A_0 = \sum_{k=1}^i A_{k+1} - A_k.$$

L'estimation de l'approximation aussi :

$$A - A_i = \sum_{k=i}^{+\infty} A_{k+1} - A_k.$$



## Proof.

Polygone de Newton de  $A - A_2$



# Plan de l'exposé

- 1** Précision  $p$ -adique et algorithme de Gauss
  - Puissance de la précision  $p$ -adique
  - Un exemple : analyse de la perte de précision dans l'échelonnement de Gauss
- 2** Polygone de Newton
  - Première présentation
  - Factorisation par les pentes
- 3** Calcul différentiel
  - Le lemme de Caruso
  - Equations différentielles linéaires, et applications

# Le lemme fondamental de la précision $p$ -adique

## Lemme (Caruso)

Soit  $f$  une application  $C^1$  de  $\mathbb{Q}_p^n$  dans  $\mathbb{Q}_p^m$ .

# Le lemme fondamental de la précision $p$ -adique

## Lemme (Caruso)

Soit  $f$  une application  $C^1$  de  $\mathbb{Q}_p^n$  dans  $\mathbb{Q}_p^m$ .

Soit  $x \in \mathbb{Q}_p^n$ . On suppose que  $f'(x)$  est surjective.

# Le lemme fondamental de la précision $p$ -adique

## Lemme (Caruso)

Soit  $f$  une application  $C^1$  de  $\mathbb{Q}_p^n$  dans  $\mathbb{Q}_p^m$ .

Soit  $x \in \mathbb{Q}_p^n$ . On suppose que  $f'(x)$  est surjective.

Alors pour toute boule assez petite  $B = B(0, r)$  :

$$f(x + B) = f(x) + f'(x) \cdot B.$$

# Le lemme fondamental de la précision $p$ -adique

## Lemme (Caruso)

Soit  $f$  une application  $C^1$  de  $\mathbb{Q}_p^n$  dans  $\mathbb{Q}_p^m$ .

Soit  $x \in \mathbb{Q}_p^n$ . On suppose que  $f'(x)$  est surjective.

Alors pour tout  $k$  assez grand :

$$f(x + p^k \mathbb{Z}_p^n) = f(x) + f'(x) \cdot p^k \mathbb{Z}_p^m.$$

# Division euclidienne

## Différentielle de la division euclidienne

Soit  $A, B \in \mathbb{Q}_p[X]$ . On veut différencier  $A = BQ + R$ .

# Division euclidienne

## Différentielle de la division euclidienne

Soit  $A, B \in \mathbb{Q}_p[X]$ . On veut différencier  $A = BQ + R$ .

On pose  $A + \delta A = (B + \delta B)(Q + \delta Q) + R + \delta R$ .

# Division euclidienne

## Différentielle de la division euclidienne

Soit  $A, B \in \mathbb{Q}_p[X]$ . On veut différencier  $A = BQ + R$ .

On pose  $A + \delta A = (B + \delta B)(Q + \delta Q) + R + \delta R$ .

Alors,  $\delta A - Q\delta B = B\delta Q + \delta R$ .



# Division euclidienne

## Différentielle de la division euclidienne

Soit  $A, B \in \mathbb{Q}_p[X]$ . On veut différencier  $A = BQ + R$ .

On pose  $A + \delta A = (B + \delta B)(Q + \delta Q) + R + \delta R$ .

Alors,  $\delta A - Q\delta B = B\delta Q + \delta R$ .

Ainsi, la perte de précision dans la division de  $A + \delta A$  par  $B + \delta B$  est de  $\delta Q$  sur le quotient et  $\delta R$  sur le reste, et ils sont donnés comme le quotient et le reste dans la division de  $\delta A - Q\delta B$  par  $B$ .

# Division euclidienne

## Différentielle de la division euclidienne

Soit  $A, B \in \mathbb{Q}_p[X]$ . On veut différencier  $A = BQ + R$ .

On pose  $A + \delta A = (B + \delta B)(Q + \delta Q) + R + \delta R$ .

Alors,  $\delta A - Q\delta B = B\delta Q + \delta R$ .

Ainsi, la perte de précision dans la division de  $A + \delta A$  par  $B + \delta B$  est de  $\delta Q$  sur le quotient et  $\delta R$  sur le reste, et ils sont donnés comme le quotient et le reste dans la division de  $\delta A - Q\delta B$  par  $B$ .

On peut le lire via le lemme de division concernant les polygones de Newton.

# Plan de l'exposé

- 1** Précision  $p$ -adique et algorithme de Gauss
  - Puissance de la précision  $p$ -adique
  - Un exemple : analyse de la perte de précision dans l'échelonnement de Gauss
- 2** Polygone de Newton
  - Première présentation
  - Factorisation par les pentes
- 3** Calcul différentiel
  - Le lemme de Caruso
  - Equations différentielles linéaires, et applications

# Présentation du problème : séries de Newton

## Définition

Soit  $P \in k[X]$ ,  $P = \prod_i (X - \alpha_i)$  (sur  $\bar{k}$ ). On définit la série de Newton de  $P$  comme

$$f_P = \sum_n \left( \sum_i \alpha_i^n \right) t^n = -\frac{(P^*)'}{P^*},$$

avec  $P^*$  le polynôme réciproque de  $P$ .

# Présentation du problème : séries de Newton

## Définition

Soit  $P \in k[X]$ ,  $P = \prod_i (X - \alpha_i)$  (sur  $\bar{k}$ ). On définit la série de Newton de  $P$  comme

$$f_P = \sum_n \left( \sum_i \alpha_i^n \right) t^n = -\frac{(P^*)'}{P^*},$$

avec  $P^*$  le polynôme réciproque de  $P$ .

## Remarque

Si l'on est en caractéristique nulle, connaître  $f_P$  est équivalent à connaître  $P$ . On peut même se restreindre aux premiers termes de  $f_P$  (identités de Newton).

# Présentation du problème : opérations souhaitées

## Proposition

On pose  $P \oplus Q = \prod_{i,j}(X - \alpha_i - \beta_j)$  et  $P \otimes Q = \prod_{i,j}(X - \alpha_i\beta_j)$ .

# Présentation du problème : opérations souhaitées

## Proposition

*On pose  $P \oplus Q = \prod_{i,j}(X - \alpha_i - \beta_j)$  et  $P \otimes Q = \prod_{i,j}(X - \alpha_i\beta_j)$ . Alors le premier correspond à la série donnée par les produits des coefficients de  $f_P$  et  $f_Q$ , et le second correspond au produit de Cauchy de  $f_P$  et  $f_Q$ .*

# Présentation du problème : opérations souhaitées

## Proposition

*On pose  $P \oplus Q = \prod_{i,j} (X - \alpha_i - \beta_j)$  et  $P \otimes Q = \prod_{i,j} (X - \alpha_i \beta_j)$ . Alors le premier correspond à la série donnée par les produits des coefficients de  $f_P$  et  $f_Q$ , et le second correspond au produit de Cauchy de  $f_P$  et  $f_Q$ .*

## Remarque

Comment faire sur  $\mathbb{F}_p$  ?



# Présentation du problème : opérations souhaitées

## Proposition

*On pose  $P \oplus Q = \prod_{i,j} (X - \alpha_i - \beta_j)$  et  $P \otimes Q = \prod_{i,j} (X - \alpha_i \beta_j)$ . Alors le premier correspond à la série donnée par les produits des coefficients de  $f_P$  et  $f_Q$ , et le second correspond au produit de Cauchy de  $f_P$  et  $f_Q$ .*

## Remarque

Comment faire sur  $\mathbb{F}_p$  ? On relève dans  $\mathbb{Z}_p$ , et on réduit à la fin.

# Présentation du problème : méthode de résolution

Proposition (Calcul efficace de  $P$  à partir de  $f_P$ )

*On remarque que*

$$(P^*)' = -f_P * P^*,$$

# Présentation du problème : méthode de résolution

Proposition (Calcul efficace de  $P$  à partir de  $f_P$ )

On remarque que

$$(P^*)' = -f_P * P^*,$$

On a donc

$$y' = a(x) * y,$$

pour  $a(x) = -f_P$  et  $y = P^*$ . Ainsi, retrouver  $P$  à partir de  $f_P$  revient à résoudre une équation différentielle (dans  $\mathbb{Z}_p[[x]]$ ).

# Calcul de la différentielle

## Théorème

*La perte de précision dans le calcul du coefficient d'ordre  $n$  de  $P$  à partir de  $f_p$  est en  $O(\log_p(n))$ .*

# Calcul de la différentielle

## Théorème

*La perte de précision dans le calcul du coefficient d'ordre  $n$  de  $P$  à partir de  $f_p$  est en  $O(\log_p(n))$ .*

## Proof.

On différentie  $y' = a(t)y$ , en  $y_0 \in \mathbb{Z}_p[[x]]$ .

$y_0$  correspond à  $P^*$ ,  $a$  à  $-f_p$ , tout deux dans  $\mathbb{Z}_p[[x]]$



# Calcul de la différentielle

## Théorème

*La perte de précision dans le calcul du coefficient d'ordre  $n$  de  $P$  à partir de  $f_p$  est en  $O(\log_p(n))$ .*

## Proof.

On différentie  $y' = a(t)y$ , en  $y_0 \in \mathbb{Z}_p[[x]]$ .

$$(y_0 + \delta y)' = (a + \delta a)(y_0 + \delta y)$$



# Calcul de la différentielle

## Théorème

*La perte de précision dans le calcul du coefficient d'ordre  $n$  de  $P$  à partir de  $f_p$  est en  $O(\log_p(n))$ .*

## Proof.

On différentie  $y' = a(t)y$ , en  $y_0 \in \mathbb{Z}_p[[x]]$ .

$$\begin{aligned}(y_0 + \delta y)' &= (a + \delta a)(y_0 + \delta y) \\ (\delta y)' &= a\delta y + y_0\delta a\end{aligned}$$



# Calcul de la différentielle

## Théorème

*La perte de précision dans le calcul du coefficient d'ordre  $n$  de  $P$  à partir de  $f_p$  est en  $O(\log_p(n))$ .*

## Proof.

On différentie  $y' = a(t)y$ , en  $y_0 \in \mathbb{Z}_p[[x]]$ .

$$(\delta y)' = a\delta y + y_0\delta a$$





# Calcul de la différentielle

## Théorème

*La perte de précision dans le calcul du coefficient d'ordre  $n$  de  $P$  à partir de  $f_p$  est en  $O(\log_p(n))$ .*

## Proof.

On différentie  $y' = a(t)y$ , en  $y_0 \in \mathbb{Z}_p[[x]]$ .

$$(\delta y)' = a\delta y + y_0\delta a$$

Par variation de la constante,

$$\delta y = y_0 \int y_0^{-1} \times y_0 \delta a dt.$$



# Calcul de la différentielle

## Théorème

*La perte de précision dans le calcul du coefficient d'ordre  $n$  de  $P$  à partir de  $f_p$  est en  $O(\log_p(n))$ .*

## Proof.

Par variation de la constante,

$$\delta y = y_0 \int y_0^{-1} \times y_0 \delta a dt.$$



# Calcul de la différentielle

## Théorème

*La perte de précision dans le calcul du coefficient d'ordre  $n$  de  $P$  à partir de  $f_p$  est en  $O(\log_p(n))$ .*

## Proof.

Par variation de la constante,

$$\delta y = y_0 \int y_0^{-1} \times y_0 \delta a dt.$$

$$\delta y = y_0 \int \delta a dt.$$



# Calcul de la différentielle

## Théorème

*La perte de précision dans le calcul du coefficient d'ordre  $n$  de  $P$  à partir de  $f_p$  est en  $O(\log_p(n))$ .*

## Proof.

$$\delta y = y_0 \int \delta a dt.$$

Comme  $\int \sum_i a_i x^i = \sum_i a_i \frac{x^{i+1}}{i+1}$ , ceci donne bien une perte de précision logarithmique.



# Calcul de la différentielle

## Théorème

La perte de précision dans le calcul du coefficient d'ordre  $n$  de  $P$  à partir de  $f_p$  est en  $O(\log_p(n))$ .

## Proof.

$$\delta y = y_0 \int \delta a dt.$$

Autrement dit : si  $\delta a = O(p^n)$ , c'est-à-dire  $\delta a = \sum_i u_i p^n t^i$ , alors

$$\delta y = \sum_i v_i \frac{p^n}{i+1} t^i.$$



# Calcul de la différentielle

## Théorème

La perte de précision dans le calcul du coefficient d'ordre  $n$  de  $P$  à partir de  $f_p$  est en  $O(\log_p(n))$ .

## Proof.

$$\delta y = y_0 \int \delta a dt.$$

Autrement dit : si  $\delta a = O(p^n)$ , c'est-à-dire  $\delta a = \sum_i u_i p^n t^i$ , alors

$$\delta y = \sum_i v_i \frac{p^n}{i+1} t^i.$$



# Bibliographie

## Sur la précision $p$ -adique

- CARUSO, XAVIER, Random matrix over a DVR and LU factorization, preprint.
- CARUSO, XAVIER, & LUBICZ, DAVID, Un algorithme de calcul de réseaux dans les représentations semi-stables, preprint

## Sur l'algorithme de Kedlaya

- KEDLAYA, KIRAN, Counting points on hyperelliptic curves using Monsky-Washnitzer cohomology, Journal of the Ramanujan Mathematical Society 16 (2001),

## Sur la factorisation par remontée de Hensel

- RIOU, JOËL, Agrégation de mathématiques, option algèbre et calcul formel : <http://www.math.u-psud.fr/riou/enseignement/2010-2011/agregation/cours.pdf>